#### Acuerdo No. 730 5 de febrero de 2015

Por el cual se aprueba la incorporación de un cambio de los parámetros técnicos y los sistemas de control asociados a los generadores de la central de generación Guavio

El Consejo Nacional de Operación en uso de sus facultades legales, en especial las conferidas en el Artículo 36 de la Ley 143 de 1994, el Anexo general de la Resolución CREG 025 de 1995 y su Reglamento Interno y según lo aprobado en la reunión No. 432 del 5 de febrero de 2015 y,

#### **CONSIDERANDO**

- 1. Que mediante el Acuerdo 640 de 2014 se establecieron los requerimientos para la obtención y validación de parámetros del generador y los modelos del sistema de excitación, control de velocidad/potencia y estabilizadores de sistemas de potencia de las unidades de generación del SIN y se definieron pautas para las pruebas y reajustes de los controles de generación.
- 2. Que siguiendo el procedimiento para solicitar el cambio de parámetros técnicos de las plantas de generación del Acuerdo 497 de 2010, EMGESA S.A. E.S.P. solicitó al CND mediante comunicaciones con número de radicado 010327-3 del 30 de septiembre de 2014 y 011464-3 del 6 de noviembre de 2014, el cambio de los parámetros técnicos y los sistemas de control asociados a los generadores de la central hidroeléctrica Guavio.
- 3. Que XM S.A. E.S.P. mediante comunicación 011252-1 del 14 de noviembre de 2014 dio concepto favorable a la solicitud de modificación de los parámetros técnicos y los sistemas de control asociados a los generadores de la central hidroeléctrica Guavio.
- 4. Que el Subcomité de Estudios Eléctricos en su reunión 231 del 22 de enero de 2015 dio su concepto favorable a la solicitud de modificación de los parámetros técnicos y los sistemas de control asociados a los generadores de la central hidroeléctrica Guavio.
- 5. Que el Comité de Operación en su reunión 432 del 5 de febrero de 2015 recomendó al CNO la expedición del presente Acuerdo.

#### ACUERDA:

**PRIMERO.** Aprobar la incorporación de los cambios en los parámetros técnicos y los sistemas de control asociados a los generadores de la central hidroeléctrica Guavio así:



### PARÁMETROS DEL GENERADOR

#### Unidad 1 Guavio

TAG	Descripción	Valor	Unida
Sn	Potencia aparente nominal	270.0	MVA
Vn	Tensión nominal	13.8	KV
Xd	Reactancia sincrónica eje directo	0.987	pu
Χq	Reactancia sincrónica eje cuadratura	0.584	pu
X'd	Reactancia transitoria eje directo	0.322	pu
X'q	Reactancia transitoria eje cuadratura	-	pu
X''d	Reactancia subtransitoria eje directo	0.184	pu
X''q	Reactancia subtransitoria eje cuadratura	0.172	pu
T'do	Constante de tiempo transitoria de circuito abierto eje directo (@75°C)	9.22	s
T'qo	Constante de tiempo transitoria de circuito abierto eje cuadratura (@75°C)		s
T'do	Constante de tiempo subtransitoria de circuito abierto eje directo (@75°C)	0.029	s
T''qo	Constante de tiempo subtransitoria de circuito abierto eje cuadratura (@75°C)	0.052	S
XI	Reactancia de dispersión	0.160	pu
XO	Reactancia homopolar	0.069	pu
X2	Reactancia secuencia negativa saturada	0.172	pu
Ra	Resistencia de armadura L-L	0.0	ohms
5 1.0	Parámetro de saturación a ETERM = 1.0 pu	0.065	pu
51.2	Parámetro de saturación a ETERM = 1,2 pu	0.165	pu
Н	Constante de inercia	4.35	s

#### **Unidad 2 Guavio**

TAG	Descripción	Valor	Unidad
Sn	Potencia aparente nominal	270.0	MVA
Vn	Tensión nominal	13.8	KV
Xd	Reactancia sincrónica eje directo	0.998	pu
Χq	Reactancia sincrónica eje cuadratura	0.725	pu
X'd	Reactancia transitoria eje directo	0.322	pu
X'q	Reactancia transitoria eje cuadratura	-	pu
X"d	Reactancia subtransitoria eje directo	0.184	pu
X''q	Reactancia subtransitoria eje cuadratura	0.172	pu
T'do	Constante de tiempo transitoria de circuito abierto eje directo (@75°C)	9.34	s
T'qo	Constante de tiempo transitoria de circuito abierto eje cuadratura (@75°C)	-	S
T'do	Constante de tiempo subtransitoria de circuito abierto eje directo (@75°C)	0.032	S
T'qo	Constante de tiempo subtransitoria de circuito abierto eje cuadratura (@75°C)	0.052	S
XI	Reactancia de dispersión	0.162	pu
XO	Reactancia homopolar	0.069	pu
X2	Reactancia secuencia negativa saturada	0.172	pu
Ra	Resistencia de armadura L-L	0.0	ohms
S 1.0	Parámetro de saturación a ETERM = 1.0 pu	0.065	pu
S 1.2	Parámetro de saturación a ETERM = 1.2 pu	0.165	pu
Н	Constante de inercia	4.35	S

111		-	
Un	ıdad	3 6	uavio

TAG	Descripción	Valor	Unidad
Sn	Potencia aparente nominal	270.0	MVA
Vn	Tensión nominal	13.8	KV
Xd	Reactancia sincrónica eje directo	0.941	pu
Хq	Reactancia sincrónica eje cuadratura	0.561	pu
X'd	Reactancia transitoria eje directo	0.322	pu
X'q	Reactancia transitoria eje cuadratura		pu
X''d	Reactancia subtransitoria eje directo	0.184	pu
X"q	Reactancia subtransitoria eje cuadratura	0.172	pu
T'do	Constante de tiempo transitoria de circuito abierto eje directo (@75°C)	9.25	S
T'qo	Constante de tiempo transitoria de circuito abierto eje cuadratura (@75°C)	_	S
T''do	Constante de tiempo subtransitoria de circuito abierto eje directo (@75°C)	0.029	S
T'qo	Constante de tiempo subtransitoria de circuito abierto eje cuadratura (@75°C)	0.052	S
XI	Reactancia de dispersión	0.154	pu
XO	Reactancia homopolar	0.069	pu
X2	Reactancia secuencia negativa saturada	0.172	pu
Ra	Resistencia de armadura L-L	0.0	ohms
S 1.0	Parámetro de saturación a ETERM = 1.0 pu	0.065	pu
	Parámetro de saturación a ETERM = 1.2 pu	0.165	pu
Н	Constante de inercia	4.35	S

#### **Unidad 4 Guavio**

TAG	Descripción	Valor	Unidad
Sn	Potencia aparente nominal	270.0	MVA
Vn	Tensión nominal	13.8	KV
Xd	Reactancia sincrónica eje directo	1.145	pu
Χq	Reactancia sincrónica eje cuadratura	0.820	pu
X'd	Reactancia transitoria eje directo	0.322	pu
X'q	Reactancia transitoria eje cuadratura35	-	pu
X"d	Reactancia subtransitoria eje directo	0.184	pu
X"q	Reactancia subtransitoria eje cuadratura	0.172	pu
Tdo	Constante de tiempo transitoria de circuito abierto eje directo (@75°C)	9.55	S
T'qo	Constante de tiempo transitoria de circuito abierto eje cuadratura (@75°C)	(177)	S
T'do	Constante de tiempo subtransitoria de circuito abierto eje directo (@75°C)	0.041	s
T'qo	Constante de tiempo subtransitoria de circuito abierto eje cuadratura (@75°C)	0.052	S
ΧI	Reactancia de dispersión	0.165	pu
XO	Reactancia homopolar	0.069	pu
X2	Reactancia secuencia negativa saturada	0.172	pu
Ra	Resistencia de armadura L-L-	0.0	ohms
S 1.0	Parámetro de saturación a ETERM = 1.0 pu	0.065	pu
\$ 1.2	Parámetro de saturación a ETERM = 1.2 pu	0.165	pu
Н	Constante de inercia	4.35	s



Unidad 5 Guavio							
TAG	Descripción	Valor	Unidad				
Sn	Potencia aparente nominal	270.0	MVA				
Vn	Tensión nominal	13.8	KV				
Xd	Reactancia sincrónica eje directo	1.015	pu				
Χq	Reactancia sincrónica eje cuadratura	0.561	pu				
X'd	Reactancia transitoria eje directo	0.322	pu				
X'q	Reactancia transitoria eje cuadratura35	12	pu				
X''d	Reactancia subtransitoria eje directo	0.184	pu				
X"q	Reactancia subtransitoria eje cuadratura	0.172	pu				
T'do	Constante de tiempo transitoria de circuito abierto eje directo (@75°C)	9.15	S				
T'qo	Constante de tiempo transitoria de circuito abierto eje cuadratura (@75°C)	100	S				
T'do	Constante de tiempo subtransitoria de circuito abierto eje directo (@75°C)	0.03	S				
T"qo	Constante de tiempo subtransitoria de circuito abierto eje cuadratura (@75°C)	0.05	S				
XI	Reactancia de dispersión	0.145	pu				
XO	Reactancia homopolar	0.069	pu				
X2	Reactancia secuencia negativa saturada	0.172	pu				
Ra	Resistencia de armadura L-L	0.0	ohms				
S 1.0	Parámetro de saturación a ETERM = 1.0 pu	0.065	pu				
S 1.2	Parámetro de saturación a ETERM = 1.2 pu	0.165	pu				
Н	Constante de inercia	4,35	S				

#### PARÁMETROS SISTEMAS DE CONTROL

#### **Unidad 1 Guavio**

	AVR					
В	0,0162	[s]	Filtro B AVR			
С	0,0002	[s^2]	Filtro C AVR			
Rcc	0,3047	[pu]	Ganancia RCC			
B1	0,063	[s]	Filtro B1 RCC			
C1	0,0023	[s^2]	Filtro C1 RCC			
io	-0,015	[pu]	Offset RCC			
C2	0,1087	[pu]	Offset Característica Puente			
Krcc	0,2	[pu]	Ganancia entrada RCC			
M	0,7798	[pu]	Pendiente Característica Puente			
Vmin	-5,14	[pu]	Techo negativo			
Vmax	5,66	[pu]	Techo positivo			
Kpss	0,2	[pu]	Ganancia entrada PSS			
Kuel	1,3	[pu]	Ganancia entrada UEL			
Кр	67,2	[pu]	Ganancia AVR			
Kpte	1	[pu]	Ganancia Puente			
Kvhz	10	[pu]	Ganancia entrada VHz			
Koel	10	[pu]	Ganancia entrada OEL			
Lref	0,5	[pu]	Límite inferior Vref			

AVR					
K	50	[pu]	Ganancia del limitador VHz		
VHz	1,055	[pu]	Limite V/Hz		
up	0,18	[pu]	Límite superior VHz		

OEL				
IFDp	1,837	[pu]	Corriente de Pickup	
IFDml	1,82	[pu]	Corriente máxima permanente	
IFDmh	3	[pu]	Corriente máxima transitoria	
Т	25	[s]	Tiempo de Calentamiento	
Koel	1,25	[pu]	Ganancia OEL	

	UEL				
Kvt	0,185	[pu]	Influencia de Tensión		
KIx	0,3042	[pu]	Influencia de Corriente Reactiva		
KIr	0,071	[pu]	Influencia de Corriente Activa		
В	0,0212	[s]	Filtro B		
С	0,0003	[s^2]	Filtro C		
K4	0,176	[pu]	Ganancia UEL		
K5	4,45	[pu]	Ganancia UEL		
Ta2	1,248	[s]	Filtro		
Ta1	0,4	[s]	Filtro		
Ta3	1,1	[s]	Filtro		

			PSS
Tt	0,018	[s]	Cte. del Transductor
T	0,007	[s]	Cte. del PT1
T2	0,02	[s]	Cte. de atraso 1
T1	0,1	[s]	Cte. de adelanto 1
T4	0,03	[s]	Cte. de atraso 2
T3	0,1	[s]	Cte. de adelanto 2
Kpss	37	[pu]	Ganancia PSS
a1	0,0188	[s]	Cte. de 1er orden del PT2
a2	0,0002	[s^2]	Cte. de 2er orden del PT2
Tr	8,253	[s]	Cte. del washout
LL	-0,17	[pu]	Límite inferior de salida
UL	0,07	[pu]	Límite superior de salida

PCU				
Кр	0,2	[pu]	Ganancia proporcional PI	
FFD	1	[pu]	Ganancia	
Kpist	0,16	[pu]	Ganancia posicionador	
Kpos	6	[pu]	Ganancia control de posición	
Tt	0,2	[s]	Cte tiempo transductor de posición	

			PCU	
Тр	0,2	[s]	Cte tiempo posicionadores	
T1	0,5	[s]	Cte tiempo medición Pot	
T2	0,02	[s]	Cte tiempo filtro 2do orden	
Hnom	1,0553	[pu]	Altura nominal	
Th	5	[s]	Cte. de tiempo filtro medición de presión	
Droop	0,053	[pu/pu]	Estatismo	
Trate	260,8	[MW]	Potencia nominal de turbina	
Db	0,0005	[pu]	Banda muerta frecuencia	
Tn	9	[s]	Cte tiempo PI	
Tlag	5	[s]	Cte tiempo atraso	
Tlead	0,5	[s]	Cte tiempo adelanto	
Kpres	1	[pu]	Ganancia compensación por presión	
Tpres	0,5	[pu]	Cte. de tiempo compensación por presión	
qNL	0,04	[pu]	Caudal de vacío	
Tw	0,02	[seg]	Constante de tiempo del agua	
D	0	[pu]		
MinP	0,8	[pu]	Lim Inf control Pot	
MinOpen	-100	[pu]	Lim Inf	
MaxP	1,2	[pu]	Lim Sup control Pot	
MaxOpen	100	[pu]	Lim Sup	

Turbina-Penstock				
PosPmech_x	PosPmech_y			
11	11			
0.01	0.04			
0.0585	0.1008			
0.2109	0.3428			
0.2528	0.4086			
0.4536	0.6398			
0.502	0.6936			
0.698	0.8474			
0.7827	0.9002			
0.8843	0.9649			
0.9577	0.9877			
0.9996	0.989			

Regulador de Velocidad				
Control_x	Control_x			
11	11			
0.04	0			
0.1008	0.0549			
0.3428	0.2109			
0.3986	0.2528			
0.6398	0.4536			
0.6896	0.502			
0.8449	0.698			
0.8967	0.783			

Regulador o	le Velocidad
Control_x	Control_x
0.9479	0.884
0.9799	0.958
0.984	0.999

#### **Unidad 2 Guavio**

			AVR
В	0,01615	[s]	Filtro B AVR
С	0,00015316	[s^2]	Filtro C AVR
Rcc	0,3047	[pu]	Ganancia RCC
B1	0,063	[s]	Filtro B1 RCC
C1	0,0023265	[s^2]	Filtro C1 RCC
io	-0,0135	[pu]	Offset RCC
C2	0,1082	[pu]	Offset Característica Puente
Krcc	0,2	[pu]	Ganancia entrada RCC
M	0,6735	[pu]	Pendiente Característica Puente
Vmin	-5,28	[pu]	Techo negativo
Vmax	5,7	[pu]	Techo positivo
Kpss	0,2	[pu]	Ganancia entrada PSS
Kuel	2	[pu]	Ganancia entrada UEL
Кр	66,96	[pu]	Ganancia AVR
Kpte	1	[pu]	Ganancia Puente
Kvhz	10	[pu]	Ganancia entrada VHz
Koel	10	[pu]	Ganancia entrada OEL
Lref	0,5	[pu]	Límite inferior Vref
K	50	[pu]	Ganancia del limitador VHz
VHz	1,05	[pu]	Limite V/Hz
up	0,16	[pu]	Límite superior VHz

OEL				
IFDp	1,9205	[pu]	Corriente de Pickup	
IFDml	1,881	[pu]	Corriente máxima permanente	
IFDmh	3	[pu]	Corriente máxima transitoria	
Т	25	[s]	Tiempo de Calentamiento	
Koel	3,75	[pu]	Ganancia OEL	

UEL				
Kvt	0,185	[pu]	Influencia de Tensión	
Klx	0,25487	[pu]	Influencia de Corriente Reactiva	
KIr	0,120182	[pu]	Influencia de Corriente Activa	
В	0,02116	[s]	Filtro B	
С	0,000263	[s^2]	Filtro C	

			UEL
K4	0,195	[pu]	Ganancia UEL
K5	4,45	[pu]	Ganancia UEL
Ta2	1	[s]	Filtro
Ta1	1,2	[s]	Filtro
Ta3	1	[s]	Filtro

Edd (			PSS
Tt	0,018	[s]	Cte. del Transductor
T	0,007	[s]	Cte. del PT1
T2	0,02	[s]	Cte. de atraso 1
T1	0,1	[s]	Cte. de adelanto 1
T4	0,03	[s]	Cte. de atraso 2
T3	0,1	[s]	Cte. de adelanto 2
Kpss	37	[pu]	Ganancia PSS
a1	0,0188	[s]	Cte. de 1er orden del PT2
a2	0,00021	[s^2]	Cte. de 2er orden del PT2
Tr	8,253	[s]	Cte. del washout
LL	-0,17	[pu]	Límite inferior de salida
UL	0,07	[pu]	Límite superior de salida

			PCU
Кр	0,2	[pu]	Ganancia proporcional PI
FFD	1	[pu]	Ganancia
Kpist	0,16	[pu]	Ganancia posicionador
Kpos	4,02	[pu]	Ganancia control de posición
Tt	0,2	[s]	Cte tiempo transductor de posición
Тр	0,2	[s]	Cte tiempo posicionadores
T1	0,5	[s]	Cte tiempo medicion Pot
T2	2	[s]	Cte tiempo filtro 2do orden
Hnom	1,0553	[pu]	Altura nominal
Th	2,5	[s]	Cte. de tiempo filtro medición de presión
Droop	0,053	[pu/pu]	Estatismo
Trate	260,8	[MW]	Potencia nominal de turbina
Db	0,0005	[pu]	Banda muerta frecuencia
Tn	9	[s]	Cte tiempo PI
Tlag	5	[s]	Cte tiempo atraso
Tlead	0,5	[s]	Cte tiempo adelanto
Kpres	2,5	[pu]	Ganancia compensación por presión
Tpres	0,5	[pu]	Cte. de tiempo compensación por presión
qNL	0,04	[pu]	Caudal de vacío
Tw	0,02	[seg]	Constante de tiempo del agua
D	0	[pu]	

			PCU
MinP	0,8	[pu]	Lim Inf control Pot
MinOpen	-100	[pu]	Lim Inf
MaxP	1,2	[pu]	Lim Sup control Pot
MaxOpen	100	[pu]	Lim Sup

Turbina-Penstock					
PosPmech_x	PosPmech_y				
15	15				
0.0051	0.0365				
0.1617	0.2558				
0.2677	0.3973				
0.3421	0.4886				
0.4248	0.576				
0.5061	0.6648				
0.5968	0.7459				
0.6694	0.7991				
0.7198	0.8371				
0.7675	0.8676				
0.8078	0.8929				
0.8461	0.9132				
0.8831	0.9322				
0.9543	0.9664				
0.9953	0.9689				

Regulador de Velocidad					
Control_x	Control_x				
15	15				
0.0665	0.0051				
0.2858	0.1617				
0.4113	0.2677				
0.5136	0.3421				
0.606	0.4248				
0.688	0.5061				
0.7779	0.5968				
0.8291	0.6694				
0.8671	0.7198				
0.8976	0.7675				
0.9229	0.8078				
0.9392	0.8461				
0.9592	0.8831				
0.9934	0.9543				
0.9959	0.9953				

#### **Unidad 3 Guavio**

			AVR
В	0,01615	[s]	Filtro B AVR
С	0,00015316	[s^2]	Filtro C AVR
Rcc	0,3047	[pu]	Ganancia RCC

	The state of the s		AVR
B1	0,063	[s]	Filtro B1 RCC
C1	0,0023265	[s^2]	Filtro C1 RCC
io	-0,01	[pu]	Offset RCC
C2	0,1191	[pu]	Offset Característica Puente
Krcc	0,2	[pu]	Ganancia entrada RCC
M	0,92192	[pu]	Pendiente Característica Puente
Vmin	-5,2	[pu]	Techo negativo
Vmax	5,69	[pu]	Techo positivo
Kpss	0,2	[pu]	Ganancia entrada PSS
Kuel	2	[pu]	Ganancia entrada UEL
Кр	58,32	[pu]	Ganancia AVR
Kpte	1	[pu]	Ganancia Puente
Kvhz	10	[pu]	Ganancia entrada VHz
Koel	10	[pu]	Ganancia entrada OEL
Lref	0,5	[pu]	Límite inferior Vref
K	50	[pu]	Ganancia del limitador VHz
VHz	1,06	[pu]	Limite V/Hz
up	0,16	[pu]	Límite superior VHz

			OEL
IFDp	1,8	[pu]	Corriente de Pickup
IFDml	1,79	[pu]	Corriente máxima permanente
IFDmh	3,125	[pu]	Corriente máxima transitoria
Т	45,8	[s]	Tiempo de Calentamiento
Koel	21	[pu]	Ganancia OEL

UEL			
Kvt	0,185	[pu]	Influencia de Tensión
Klx	0,2693	[pu]	Influencia de Corriente Reactiva
Klr	0,103	[pu]	Influencia de Corriente Activa
В	0,02116	[s]	Filtro B
С	0,000263	[s^2]	Filtro C
K4	0,29	[pu]	Ganancia UEL
K5	2,225	[pu]	Ganancia UEL
Ta2	0,67	[s]	Filtro
Ta1	1,33	[s]	Filtro
Ta3	0,825	[s]	Filtro

			PSS
Tt	0,018	[s]	Cte. del Transductor
T	0,007	[s]	Cte. del PT1
T2	0,02	[s]	Cte. de atraso 1

A

			PSS
T1	0,1	[s]	Cte. de adelanto 1
T4	0,03	[s]	Cte. de atraso 2
T3	0,1	[s]	Cte. de adelanto 2
Kpss	37	[pu]	Ganancia PSS
a1	0,0188	[s]	Cte. de 1er orden del PT2
a2	0,00021	[s^2]	Cte. de 2er orden del PT2
Tr	8,253	[s]	Cte. del washout
LL	-0,17	[pu]	Límite inferior de salida
UL	0,07	[pu]	Límite superior de salida

			PCU
bt	0,2313	[pu]	Ganancia proporcional
Kder	1,8667	[pu]	Ganancia derivador
Tder	0,005	[seg]	Cte. de tiempo derivador
Ti	1,2227	[seg]	Cte. de tiempo integral
bp	0,06	[pu]	Estatismo permanente
Kdp	2	[pu]	Ganancia derivativa control de posición
Tdp	0,15	[seg]	Cte. de tiempo derivativa control de posición
Kpos	6,9	[pu]	Ganancia proporcional control de posición
Tpilot	0,2	[seg]	Cte. de tiempo válvula piloto
Kpist	0,16	[pu]	Ganancia posicionador
Ttransd	0,2	[seg]	Cte. de tiempo transductor de posición
qNL	0,04	[pu]	Caudal de vacío
Tw	0,02	[seg]	Constante de tiempo del agua
D	0	[pu]	
Trate	260,8	[MW]	Potencia base de la turbina
DB	0,0005	[pu]	Banda muerta

Turbina-Penstock					
PosPmech_x	PosPmech_y				
15	15				
0	0				
0.062	0.098				
0.1391	0.2161				
0.2149	0.3264				
0.281	0.4189				
0.3875	0.5507				
0.4883	0.6546				
0.5689	0.7256				
0.6464	0.7852				
0.7165	0.8346				
0.7988	0.8828				
0.8956	0.9284				
0.977	0.9613				
1.012	0.9715				
1.029	0.9728				

#### **Unidad 4 Guavio**

			AVR
В	0,01615	[s]	Filtro B AVR
С	0,00015316	[s^2]	Filtro C AVR
Rcc	0,3047	[pu]	Ganancia RCC
B1	0,063	[s]	Filtro B1 RCC
C1	0,0023265	[s^2]	Filtro C1 RCC
io	-0,012	[pu]	Offset RCC
C2	0,0859	[pu]	Offset Característica Puente
Krcc	0,2	[pu]	Ganancia entrada RCC
M	0,70567	[pu]	Pendiente Característica Puente
Vmin	-5,18	[pu]	Techo negativo
Vmax	5,64	[pu]	Techo positivo
Kpss	0,2	[pu]	Ganancia entrada PSS
Kuel	2	[pu]	Ganancia entrada UEL
Кр	81,144	[pu]	Ganancia AVR
Kpte	1	[pu]	Ganancia Puente
Kvhz	10	[pu]	Ganancia entrada VHz
Koel	10	[pu]	Ganancia entrada OEL
Lref	0,5	[pu]	Límite inferior Vref
K	50	[pu]	Ganancia del limitador VHz
VHz	1,055	[pu]	Limite V/Hz
up	0,16	[pu]	Límite superior VHz

OEL			
IFDp	1,985	[pu]	Corriente de Pickup
IFDml	1,985	[pu]	Corriente máxima permanente
IFDmh	3	[pu]	Corriente máxima transitoria
T	15,25	[s]	Tiempo de Calentamiento
Koel	7,5	[pu]	Ganancia OEL

UEL			
Kvt	0,23	[pu]	Influencia de Tensión
KIx	0,3151	[pu]	Influencia de Corriente Reactiva
Klr	0,1377	[pu]	Influencia de Corriente Activa
В	0,02116	[s]	Filtro B
С	0,000263	[s^2]	Filtro C
K4	0,21	[pu]	Ganancia UEL
K5	4,5	[pu]	Ganancia UEL
Ta2	0,67	[s]	Filtro
Ta1	1,33	[s]	Filtro

			UEL	
Ta3	0,825	[s]	Filtro	

PSS				
Tt	0	[s]	Cte. del Transductor	
T	0	[s]	Cte. del PT1	
T2	0	[s]	Cte. de atraso 1	
T1	0	[s]	Cte. de adelanto 1	
T4	0	[s]	Cte. de atraso 2	
T3	0	[s]	Cte. de adelanto 2	
Kpss	0	[pu]	Ganancia PSS	
a1	0	[s]	Cte. de 1er orden del PT2	
a2	0	[s^2]	Cte. de 2er orden del PT2	
Tr	0	[s]	Cte. del washout	
LL	0	[pu]	Límite inferior de salida	
UL	0	[pu]	Límite superior de salida	

			PCU
bt	0,18	[pu]	Ganancia proporcional
Kder	2,2	[pu]	Ganancia derivador
Tder	0,04	[seg]	Cte. de tiempo derivador
Ti	0,9	[seg]	Cte. de tiempo integral
bp	0,063	[pu]	Estatismo permanente
Kdp	2	[pu]	Ganancia derivativa control de posición
Tdp	0,15	[seg]	Cte. de tiempo derivativa control de posición
Kpos	9,2	[pu]	Ganancia proporcional control de posición
Tpilot	0,3	[seg]	Cte. de tiempo válvula piloto
Kpist	0,16	[pu]	Ganancia posicionador
Ttransd	0,2	[seg]	Cte. de tiempo transductor de posición
qNL	0,04	[pu]	Caudal de vacío
Tw	0,02	[seg]	Constante de tiempo del agua
D	0	[pu]	1
Trate	260,8	[MW]	Potencia base de la turbina
DB	0,0005	[pu]	Banda muerta

Turbina-Penstock				
PosPmech_x	PosPmech_y			
15	15			
0	0			
0.06	0.1			
0.2052	0.3061			
0.2536	0.3687			
0.3133	0.446			
0.3867	0.5327			
0.4689	0.6184			



Turbina-Penstock					
PosPmech_x	PosPmech_y				
0.5601	0.7041				
0.6254	0.7624				
0.6996	0.8161				
0.7963	0.8787				
0.8617	0.914				
0.9867	0.9647				
1.0085	0.9736				
1.027	0.9737				

#### **Unidad 5 Guavio**

			AVR
В	0,01615	[s]	Filtro B AVR
С	0,00015316	[s^2]	Filtro C AVR
Rcc	0,3047	[pu]	Ganancia RCC
B1	0,063	[s]	Filtro B1 RCC
C1	0,0023265	[s^2]	Filtro C1 RCC
io	-0,02	[pu]	Offset RCC
C2	0,1359	[pu]	Offset Característica Puente
Krcc	0,2	[pu]	Ganancia entrada RCC
M	0,66681	[pu]	Pendiente Característica Puente
Vmin	-5,14	[pu]	Techo negativo
Vmax	5,66	[pu]	Techo positivo
Kpss	0,2	[pu]	Ganancia entrada PSS
Kuel	2	[pu]	Ganancia entrada UEL
Кр	36	[pu]	Ganancia AVR
Kpte	1	[pu]	Ganancia Puente
Kvhz	10	[pu]	Ganancia entrada VHz
Koel	10	[pu]	Ganancia entrada OEL
Lref	0,5	[pu]	Límite inferior Vref
K	50	[pu]	Ganancia del limitador VHz
VHz	1,06	[pu]	Limite V/Hz
up	0,16	[pu]	Límite superior VHz

OEL				
IFDp	1,837	[pu]	Corriente de Pickup	
IFDml	1,825	[pu]	Corriente máxima permanente	
IFDmh	2,97	[pu]	Corriente máxima transitoria	
T	25	[s]	Tiempo de Calentamiento	
Koel	1,25	[pu]	Ganancia OEL	

UEL				
Kvt	0,27	[pu]	Influencia de Tensión	
KIx	0,3872	[pu]	Influencia de Corriente Reactiva	
KIr	0,1796	[pu]	Influencia de Corriente Activa	
В	0,02116	[s]	Filtro B	
С	0,000263	[s^2]	Filtro C	
K4	0,24	[pu]	Ganancia UEL	
K5	2,225	[pu]	Ganancia UEL	
Ta2	0,9	[s]	Filtro	
Ta1	1,2	[s]	Filtro	
Ta3	1,2	[s]	Filtro	

PSS				
Tt	0,018	[s]	Cte. del Transductor	
Т	0,007	[s]	Cte. del PT1	
T2	0,02	[s]	Cte. de atraso 1	
T1	0,1	[s]	Cte. de adelanto 1	
T4	0,03	[s]	Cte. de atraso 2	
T3	0,1	[s]	Cte. de adelanto 2	
Kpss	37	[pu]	Ganancia PSS	
a1	0,0188	[s]	Cte. de 1er orden del PT2	
a2	0,00021	[s^2]	Cte. de 2er orden del PT2	
Tr	8,253	[s]	Cte. del washout	
LL	-0,17	[pu]	Límite inferior de salida	
UL	0,07	[pu]	Límite superior de salida	

PCU				
bt	0,2506	[pu]	Ganancia proporcional	
Kder	2	[pu]	Ganancia derivador	
Tder	0,005	[seg]	Cte. de tiempo derivador	
Ti	1,3569	[seg]	Cte. de tiempo integral	
bp	0,06	[pu]	Estatismo permanente	
Kdp	2	[pu]	Ganancia derivativa control de posición	
Tdp	0,15	[seg]	Cte. de tiempo derivativa control de posición	
Kpos	6,9	[pu]	Ganancia proporcional control de posición	
Tpilot	0,2	[seg]	Cte. de tiempo válvula piloto	
Kpist	0,16	[pu]	Ganancia posicionador	
Ttransd	0,2	[seg]	Cte. de tiempo transductor de posición	
qNL	0,04	[pu]	Caudal de vacío	
Tw	0,02	[seg]	Constante de tiempo del agua	
D	0	[pu]		
Trate	260,8	[MW]	Potencia base de la turbina	
DB	0,0005	[pu]	Banda muerta	

B

Turbina-Penstock					
PosPmech_x	PosPmech_y				
15	15				
0	0				
0.06	0.097				
0.2052	0.3023				
0.2536	0.3669				
0.3133	0.4417				
0.3867	0.5279				
0.4689	0.6166				
0.56	0.7003				
0.6254	0.7586				
0.6996	0.8143				
0.7964	0.8739				
0.8617	0.9132				
0.9867	0.9639				
1.0084	0.9728				
1.027	0.9729				

#### Conducciones hidráulicas

			Conducciones hidráulicas
qNL1	0,04	[pu]	Caudal de vacio Unidad 1
Trate1	260,8		
qNL2	0,04	[pu]	Caudal de vacio Unidad 2
Trate2	260,8		
qNL3	0,04	[pu]	Caudal de vacio Unidad 3
Trate3	260,8		
qNL4	0,04	[pu]	Caudal de vacio Unidad 4
Trate4	260,8		
qNL5	0,04	[pu]	Caudal de vacio Unidad 5
Trate5	260,8		
Twr1	1,6432	[seg]	Tw ramal 1
Ter1	0,982	[seg]	Te ramal 1
f2r1	0,0165	[pu]	Coeficiente de rozamiento ramal 1
Twr2	1,5562	[seg]	Tw ramal 2
Ter2	0,93	[seg]	Te ramal 2
f2r2	0,0174	[pu]	Coeficiente de rozamiento ramal 2
Twp	0,1477	[seg]	Tw pozo de carga
Тер	0,3433	[seg]	Te pozo de carga
fpc	0,0002	[pu]	Coeficiente de rozamiento pozo de carga
Cs	262,62	[seg]	Capacidad surge tank
Twts	2,4221	[seg]	Tw túnel superior
Fts	0,0021	[pu]	Coeficiente de rozamiento túnel superior

**SEGUNDO.** El presente Acuerdo rige a partir del despacho que se realizará el 10 de febrero de 2015, para la operación del 11 de febrero de 2015.

El Presidente,

El Secretario Técnico,

JULIAN CABAVID VELASQUEZ

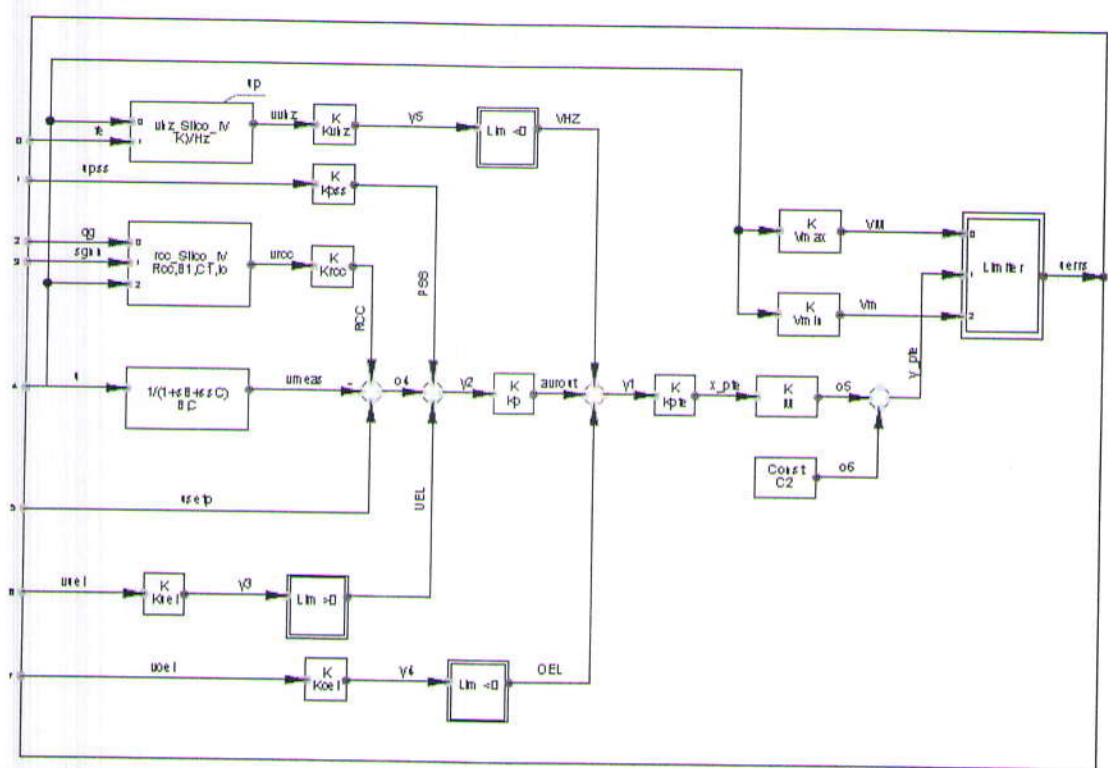
ALBERTO CLARTE AGUIRRE

#### **ANEXO**

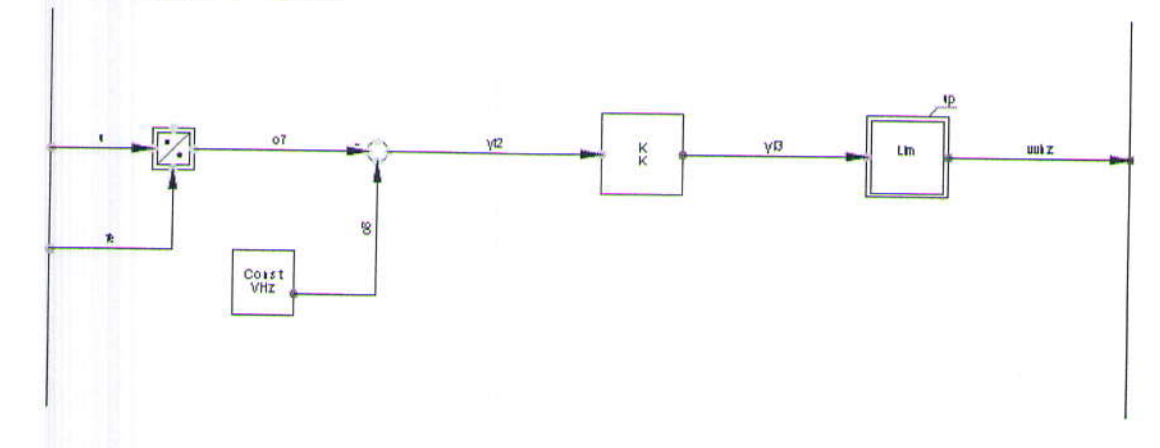
Estruturas de los modelos matemáticos de los sistemas de control de las unidades de generación de la central Guavio.

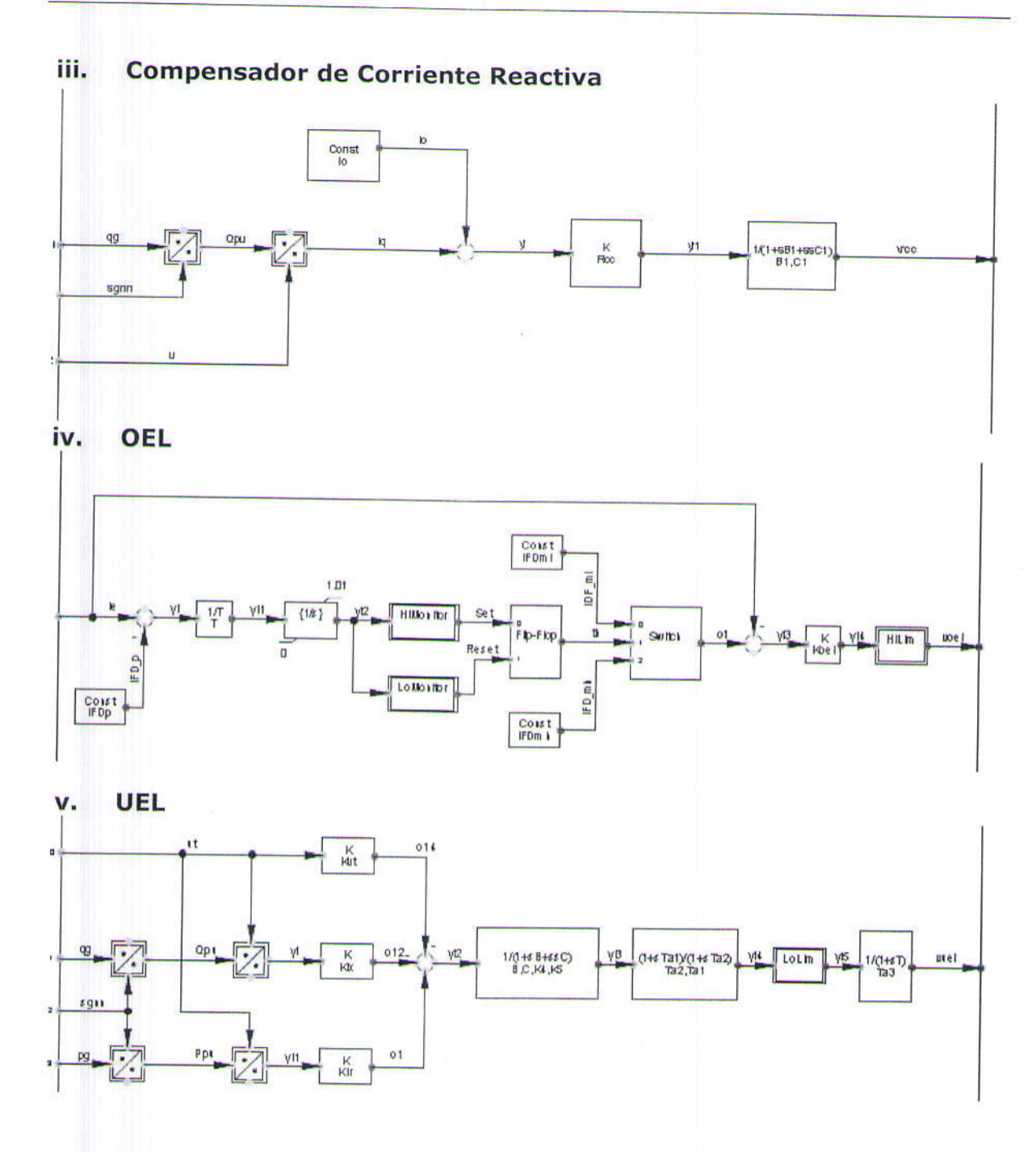
#### **Unidad 1 Guavio**

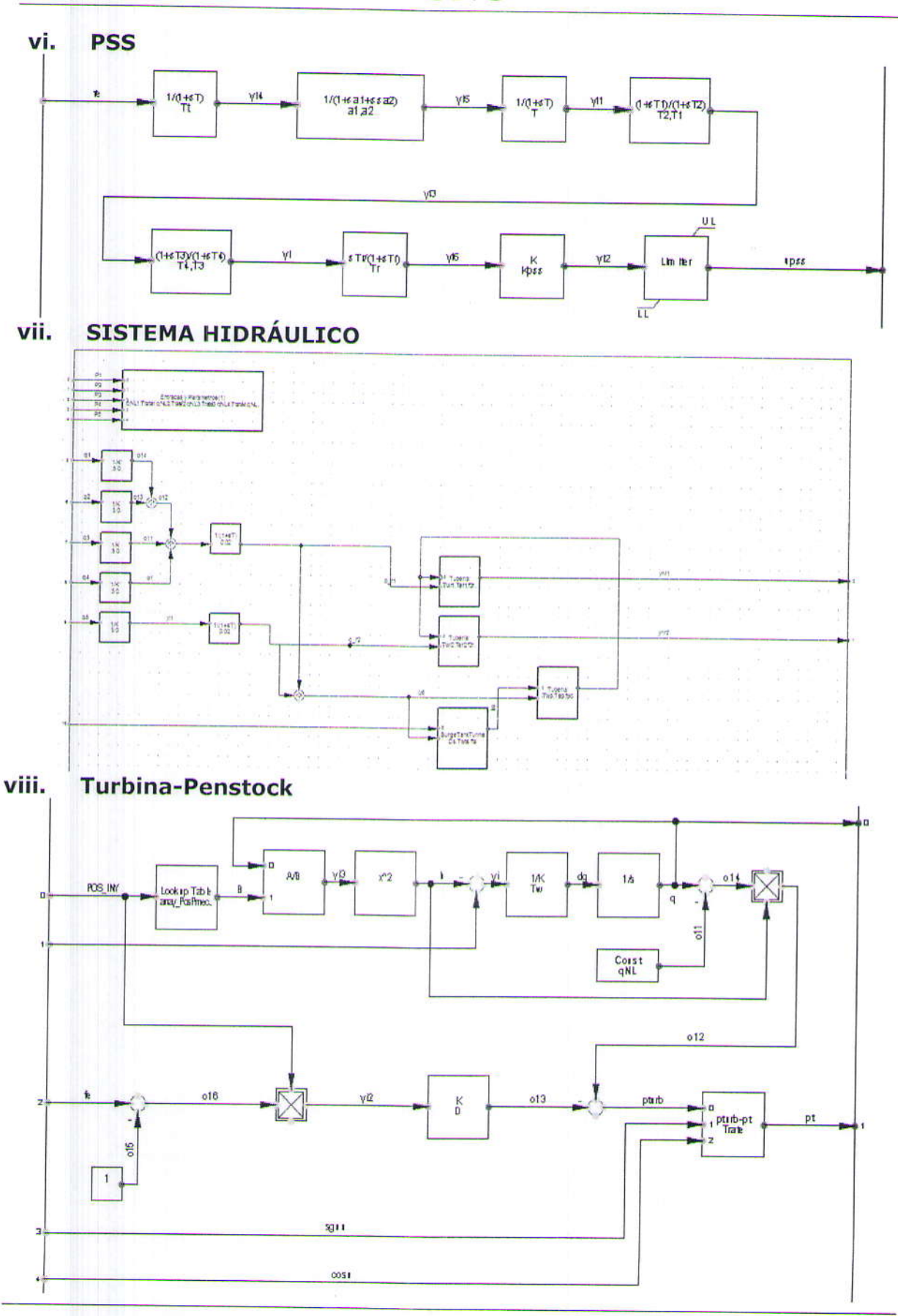
#### i. AVR

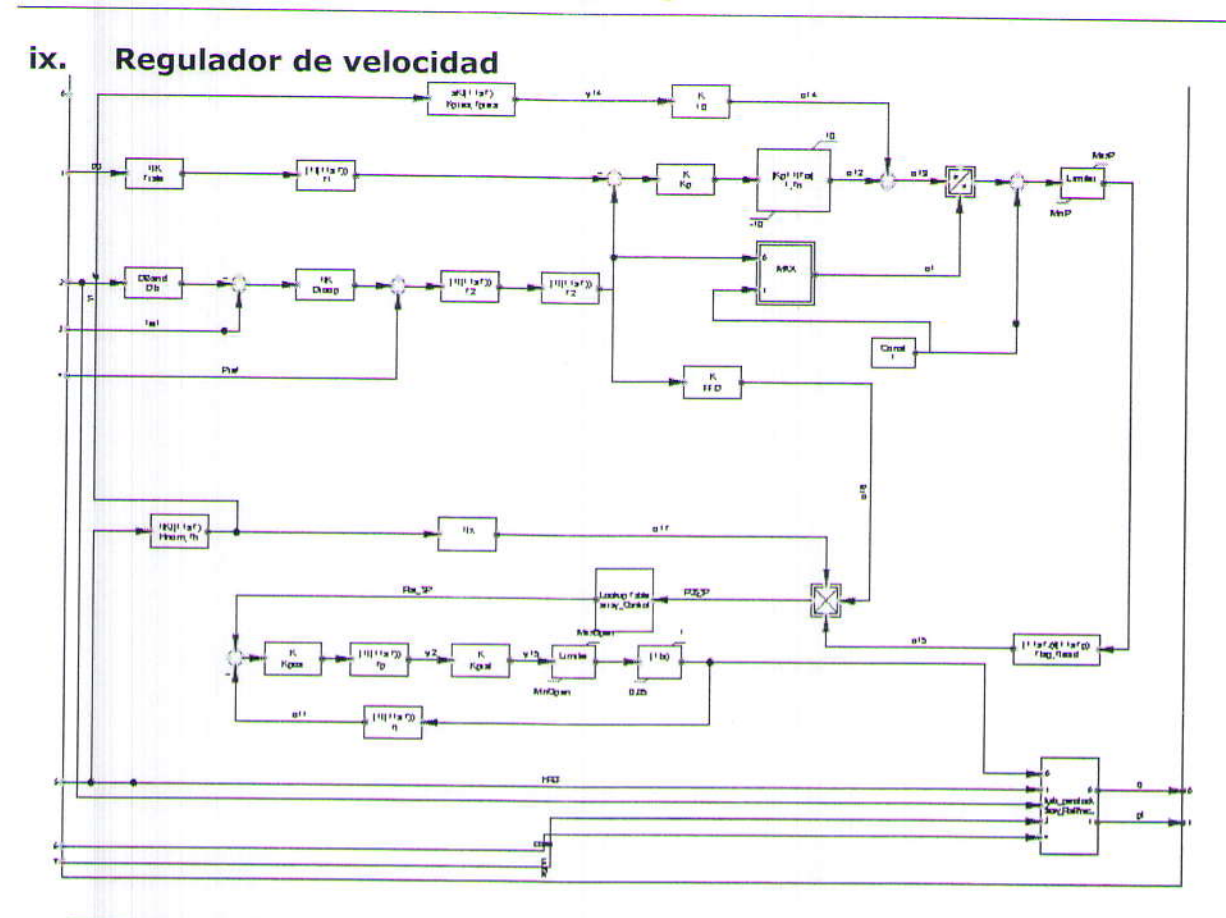


#### ii. Limitador V/Hz



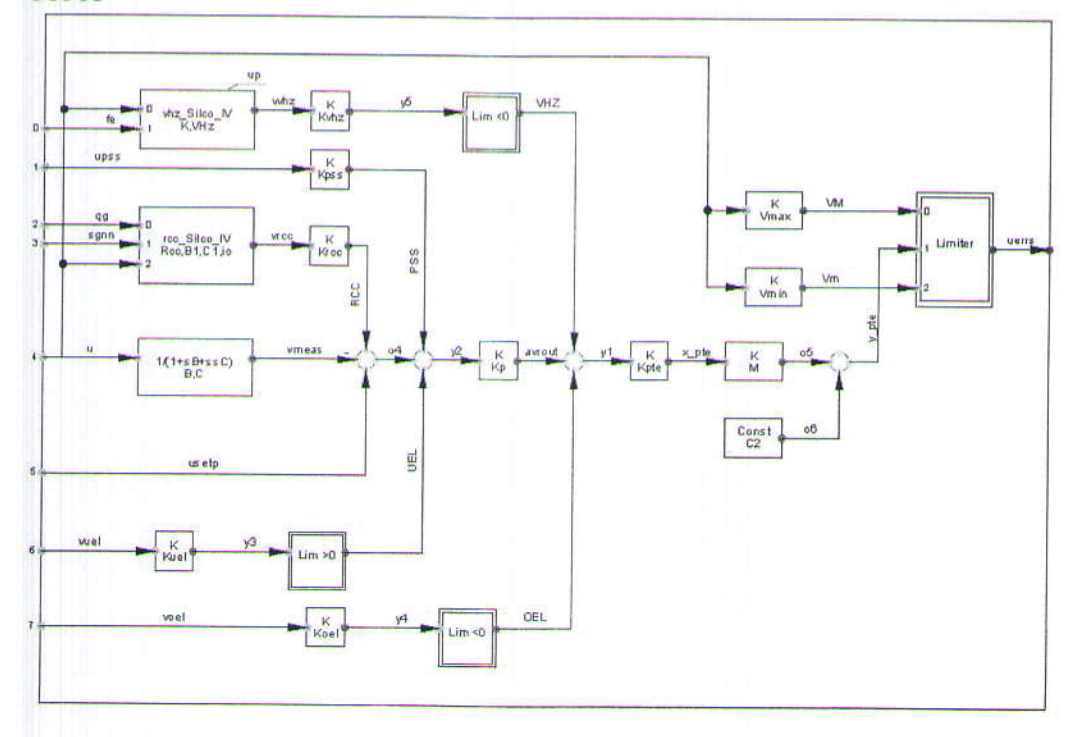


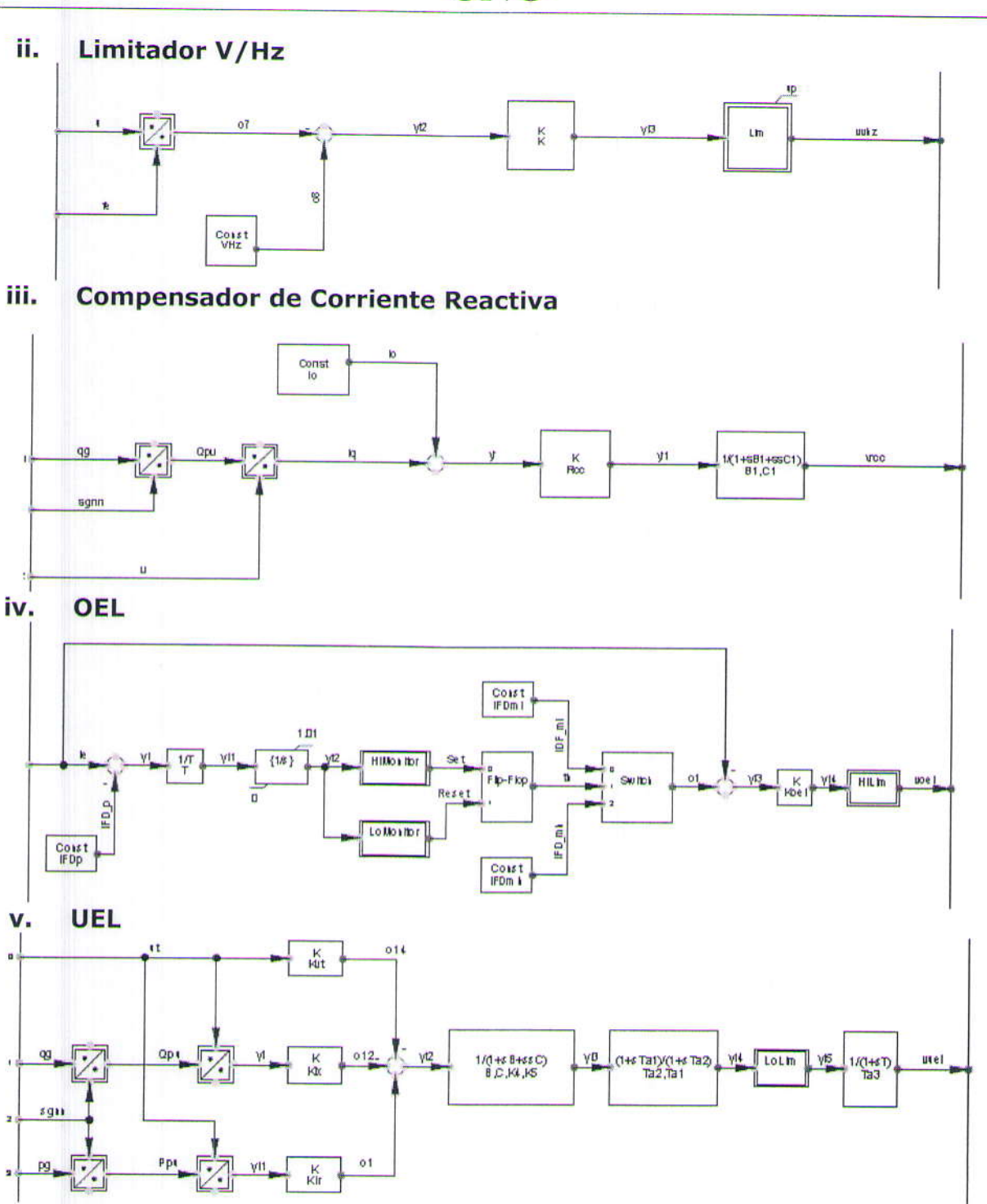


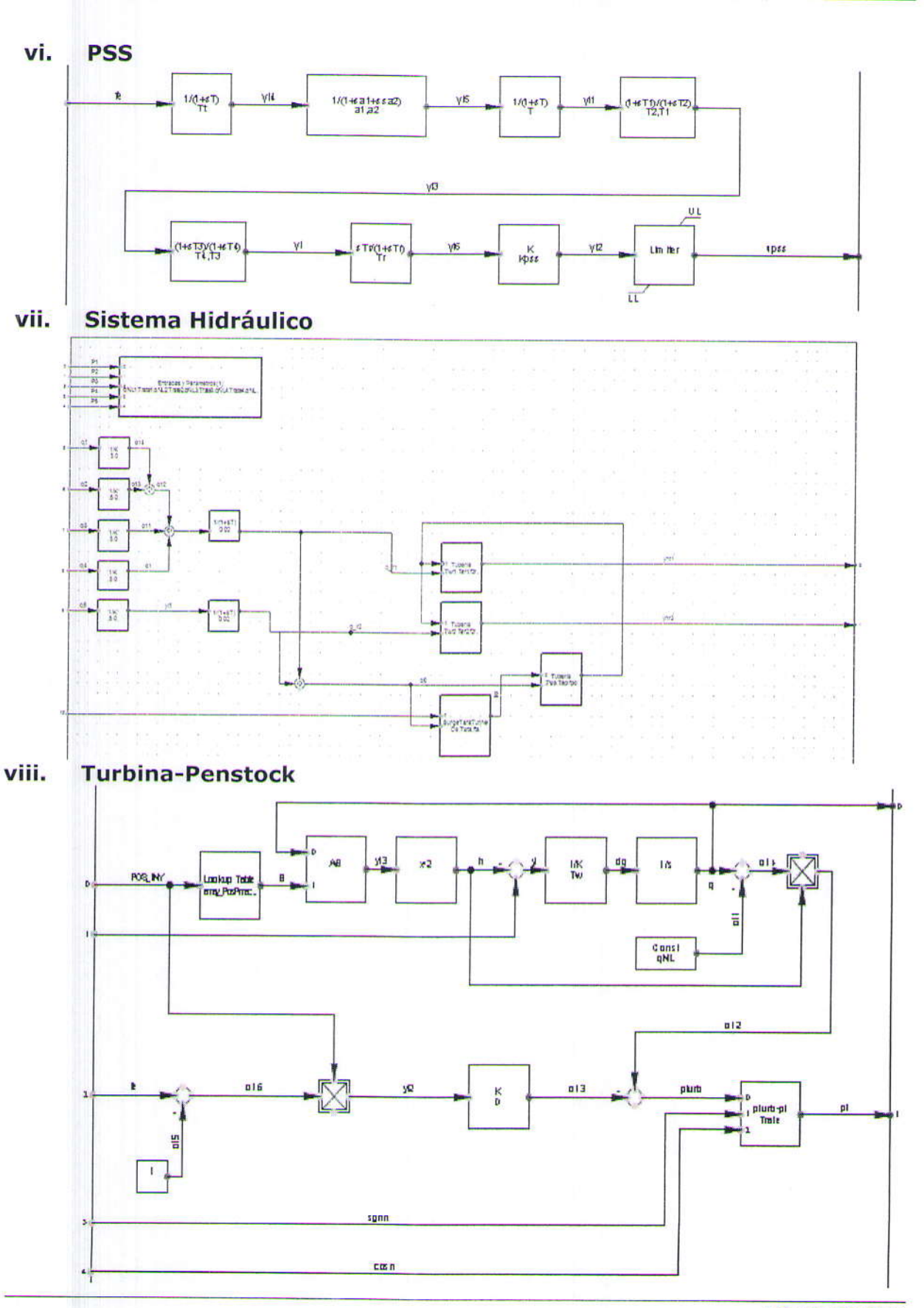


#### Unidad 2 Guavio

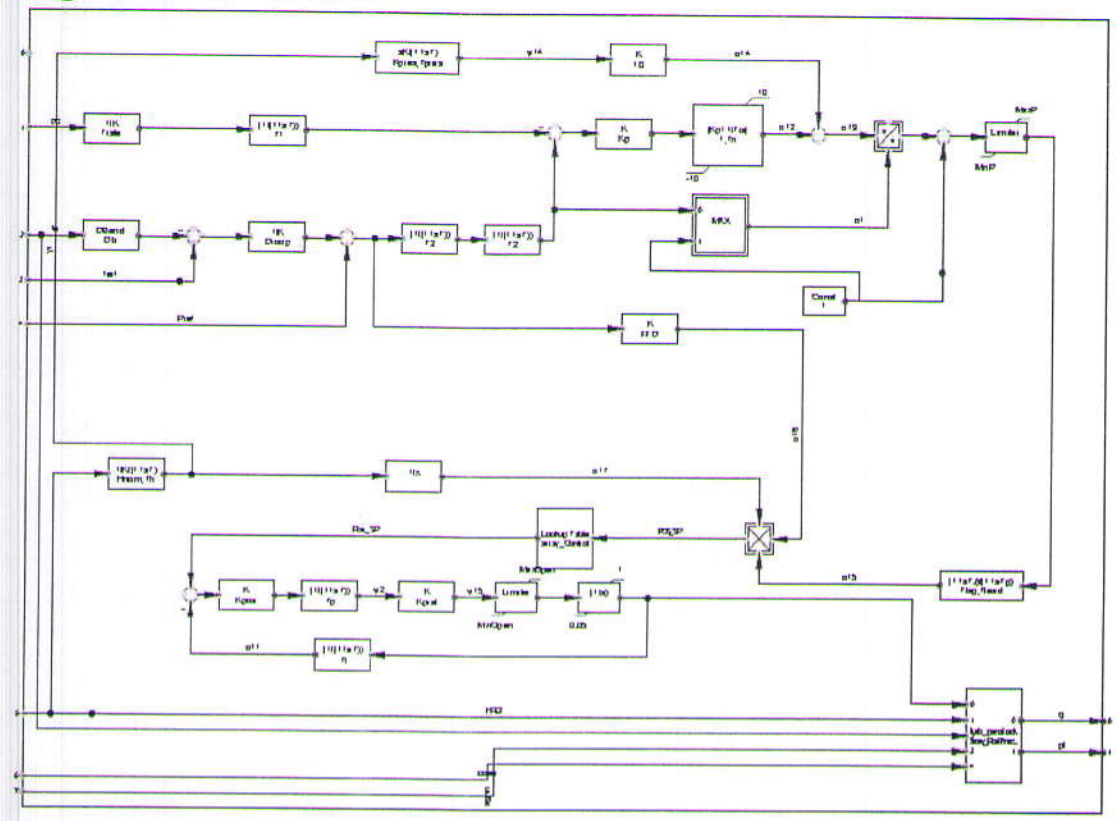
#### i. AVR





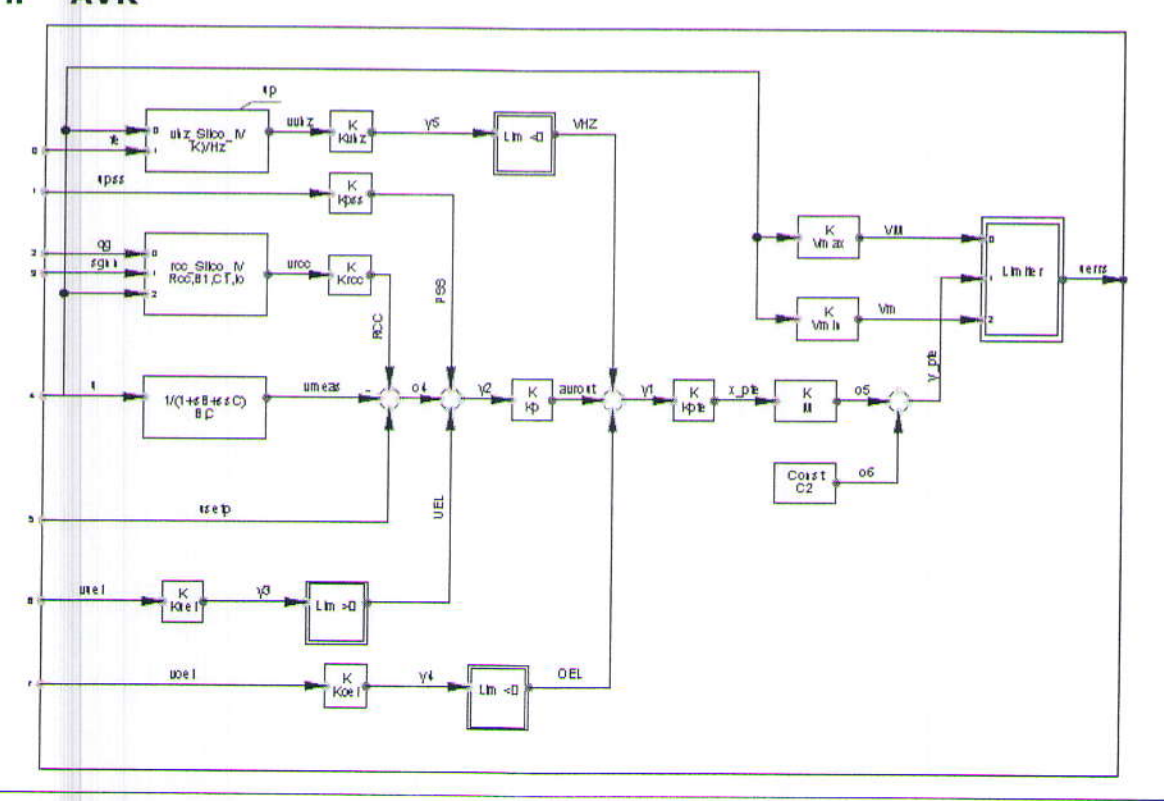


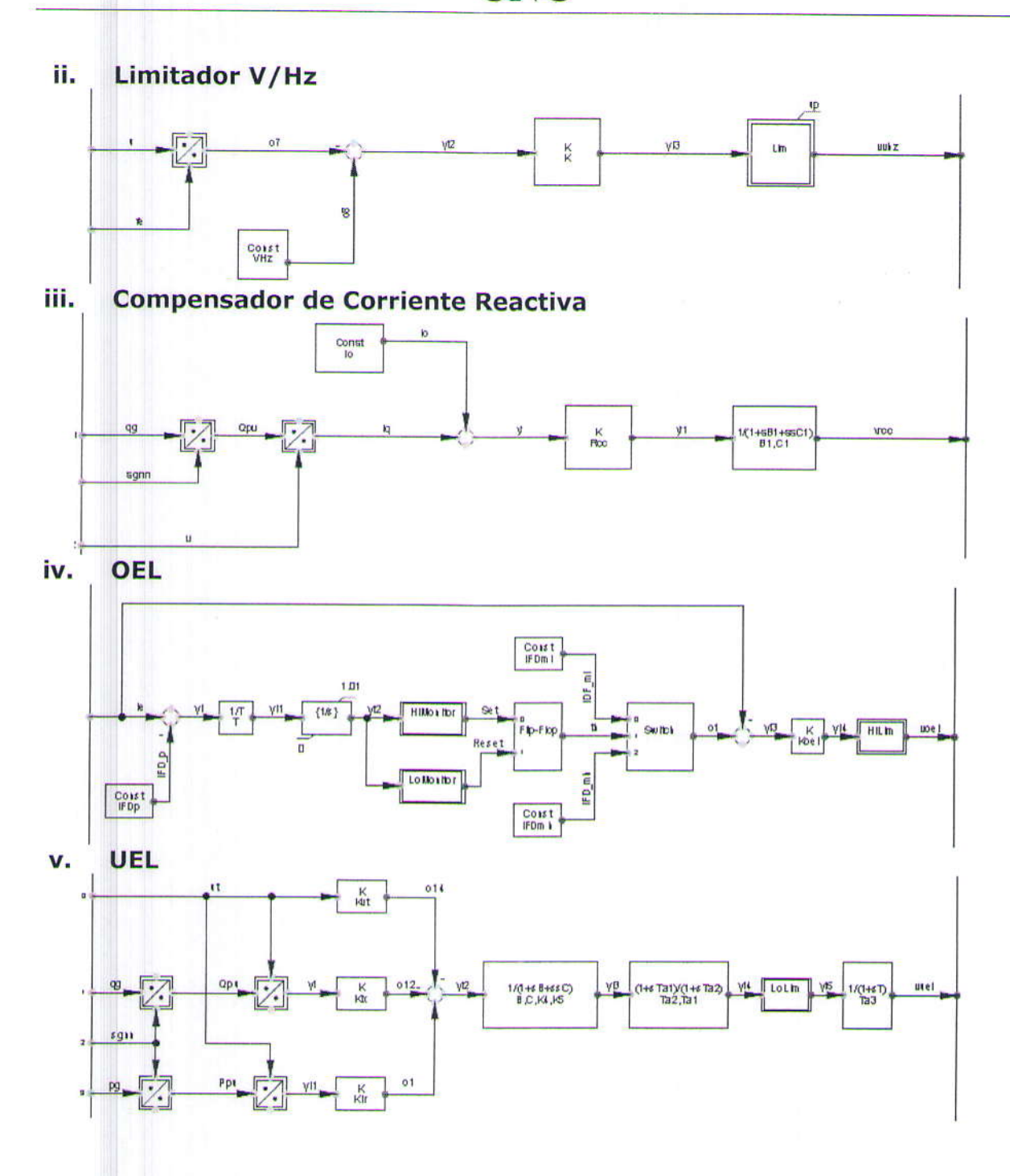
#### ix. Regulador de Velocidad



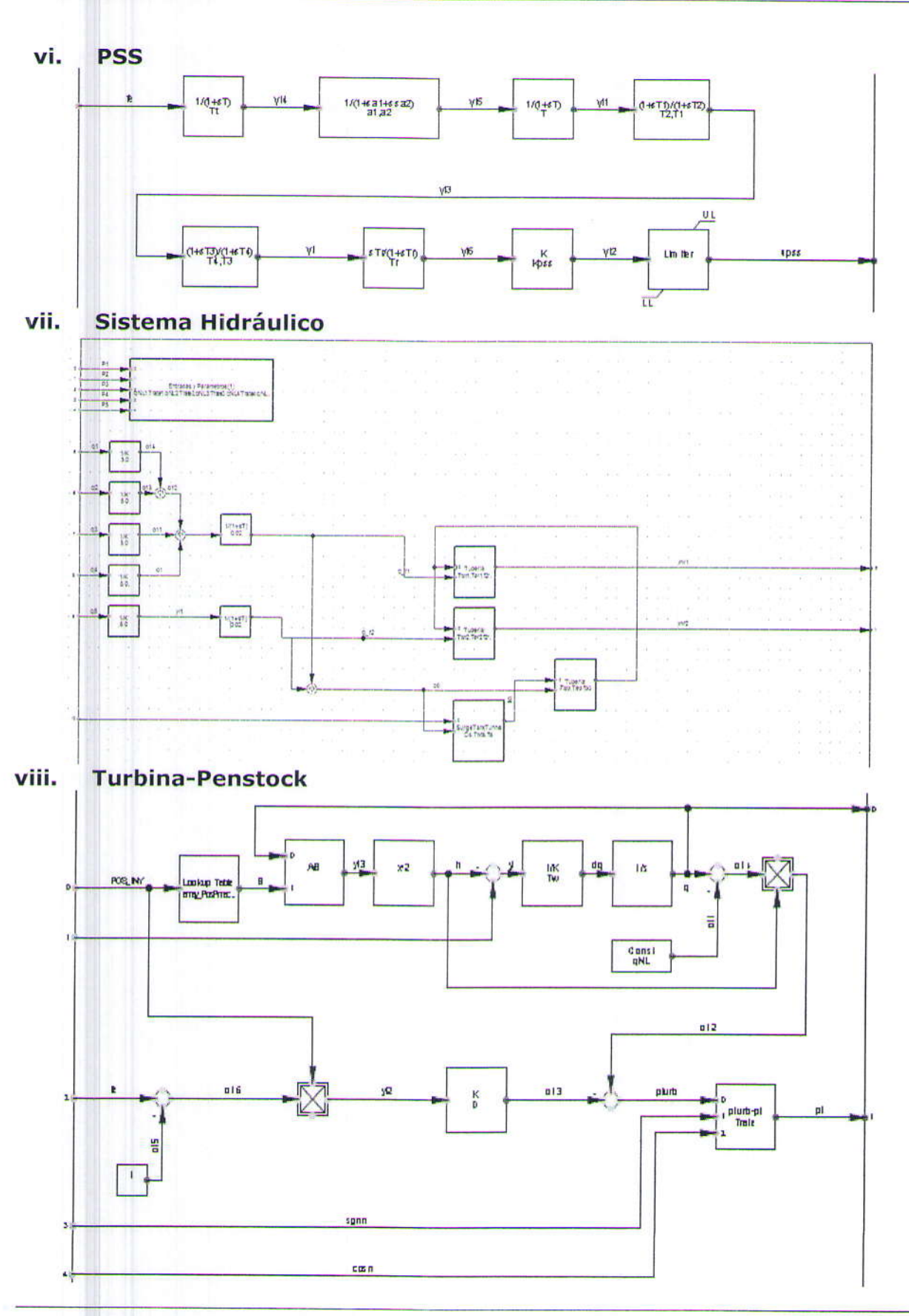
#### **Unidad 3 Guavio**

#### i. AVR

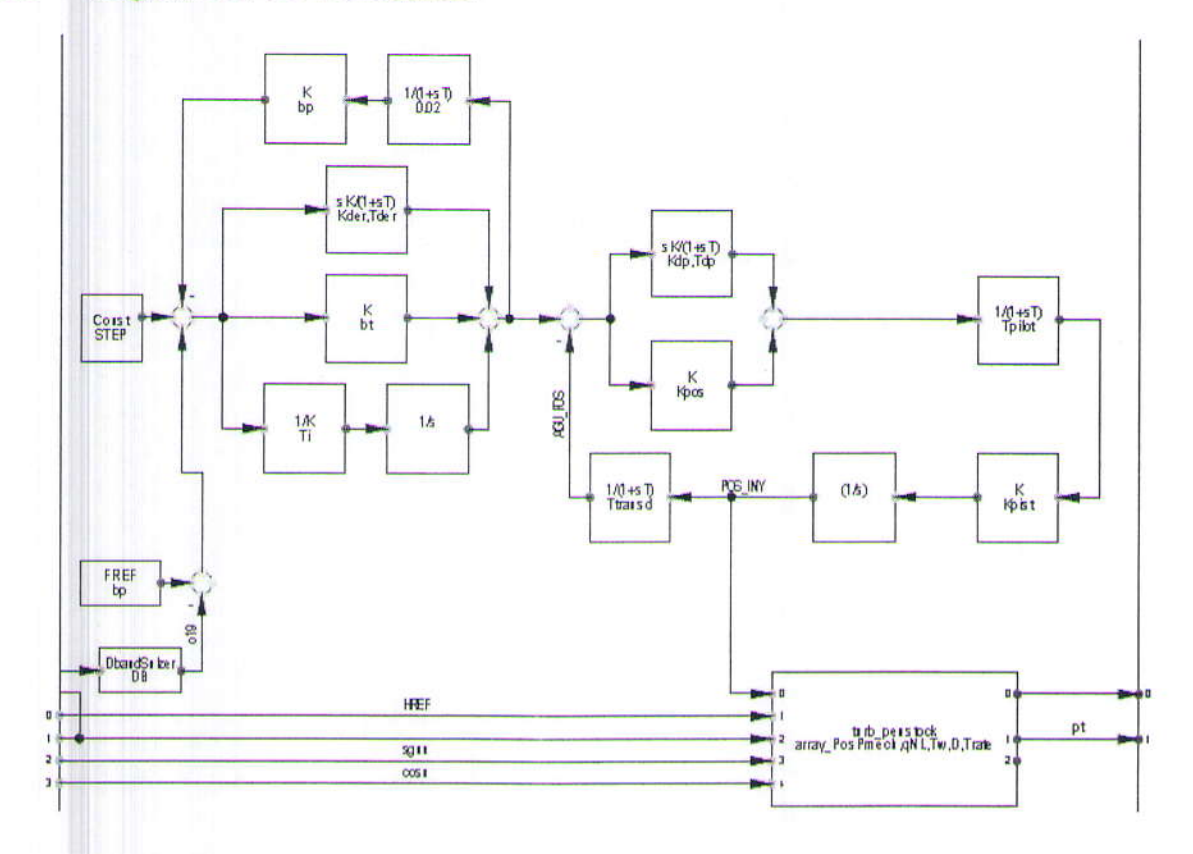


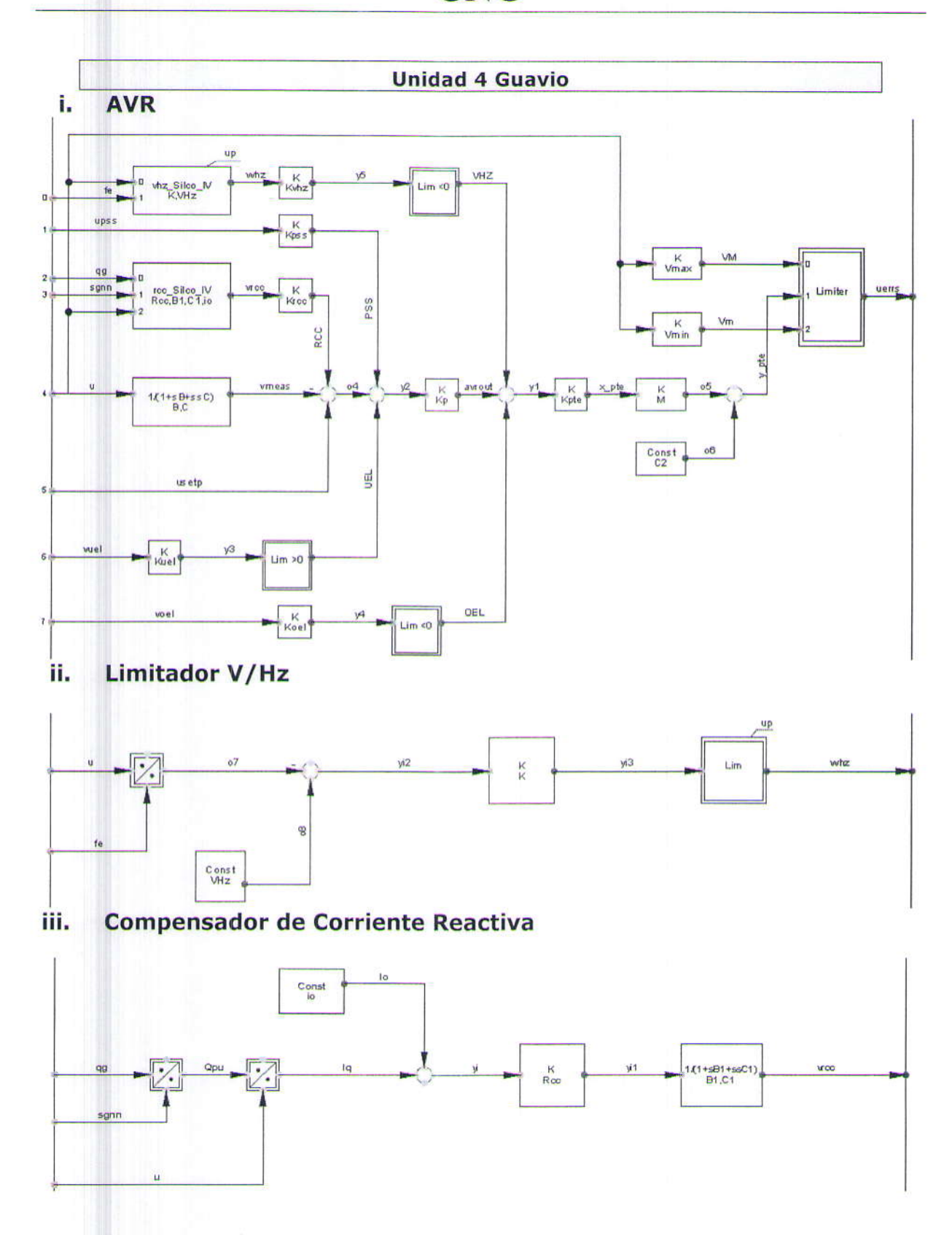


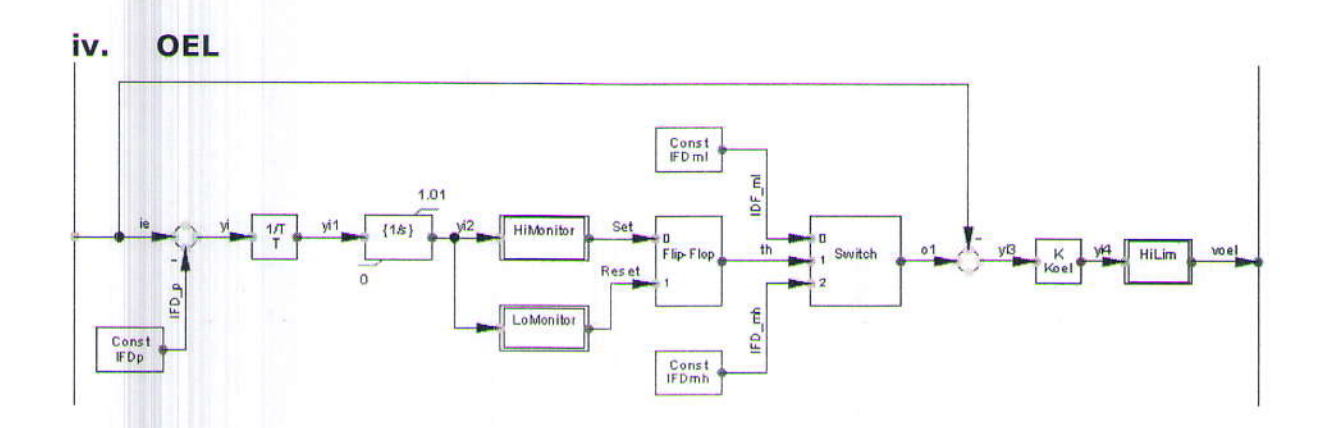


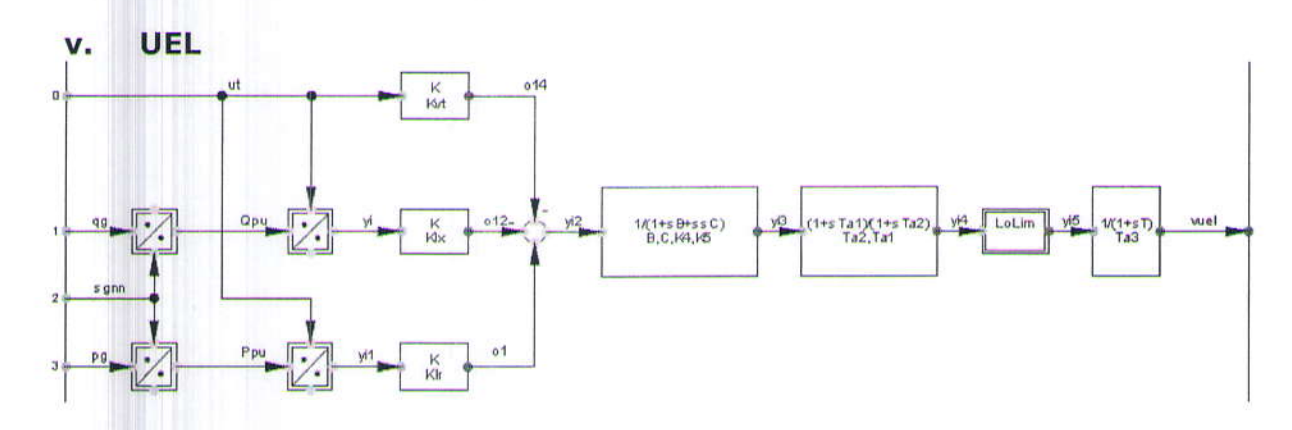


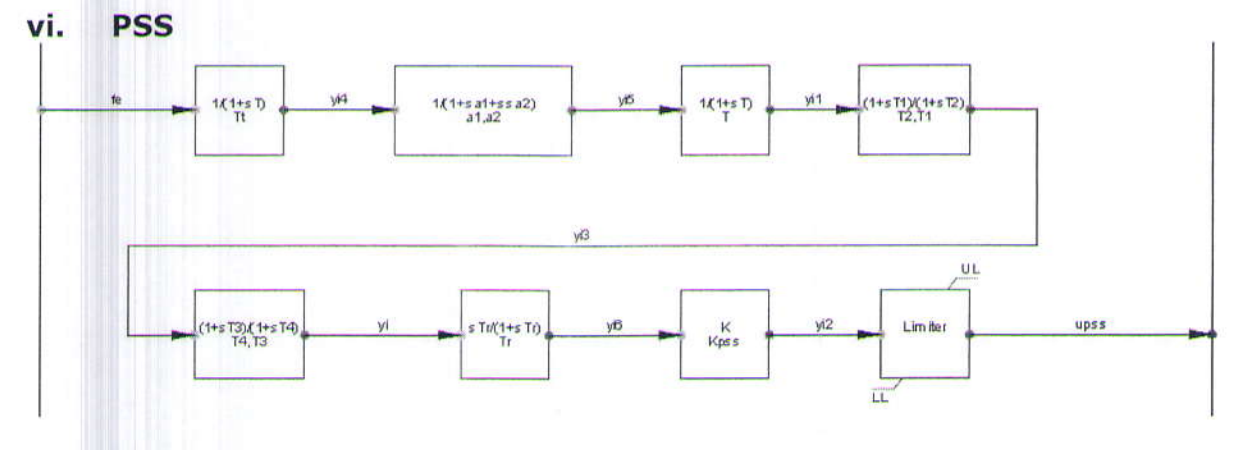
#### ix. Regulador de Velocidad



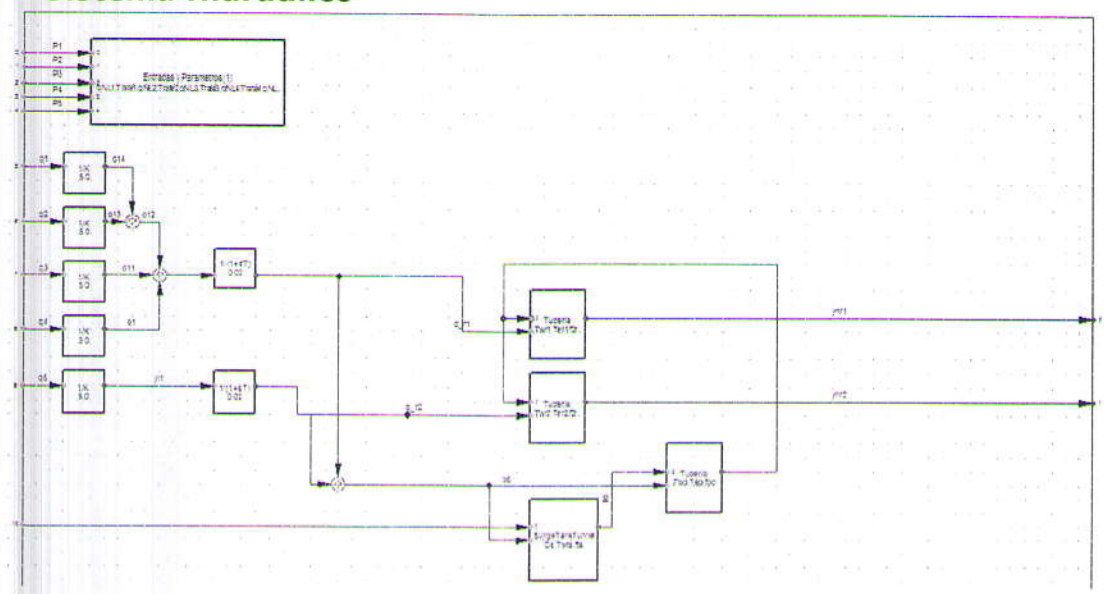




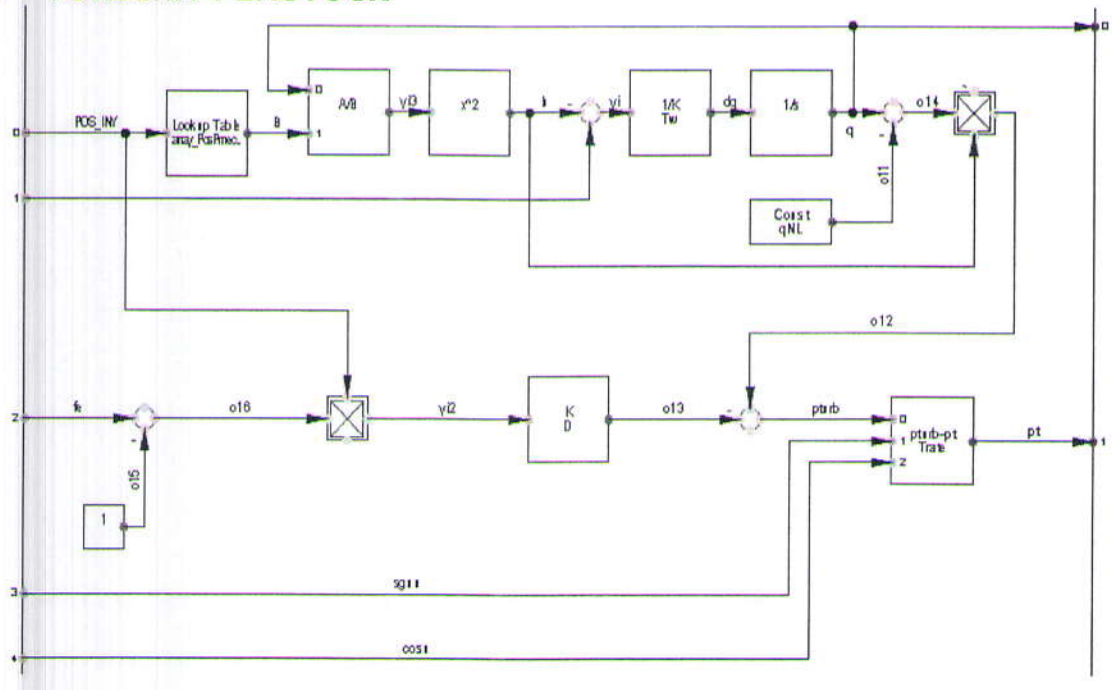




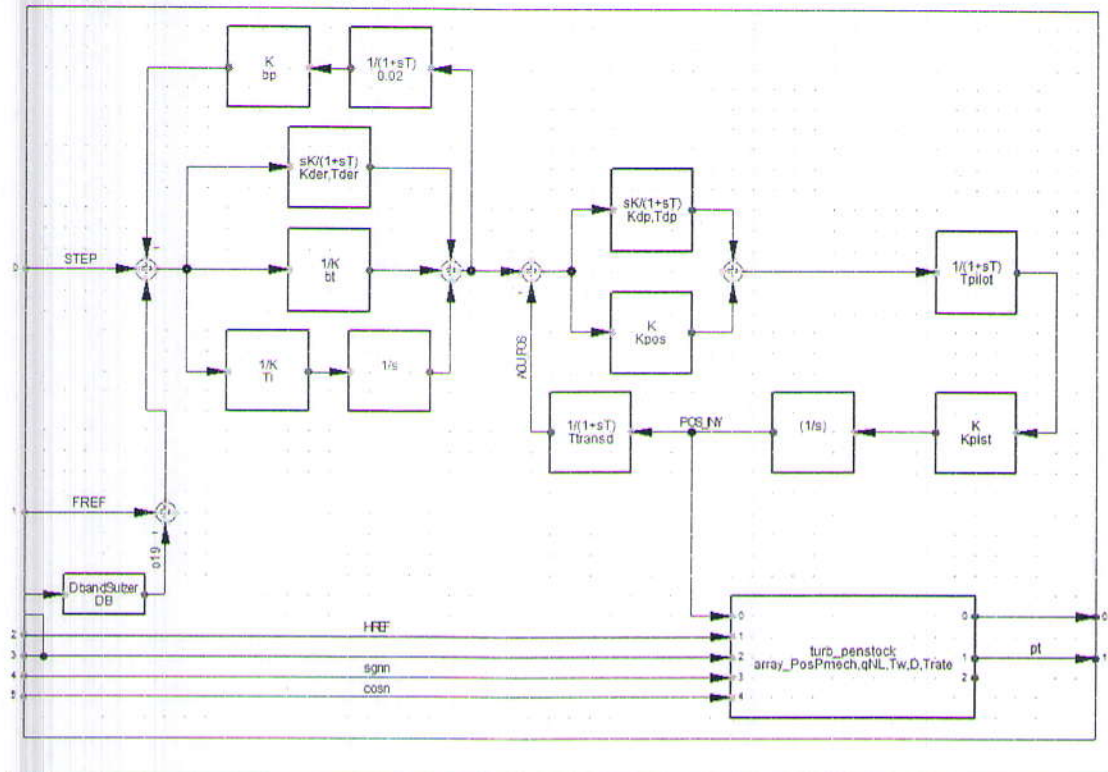
#### vii. Sistema Hidráulico



#### viii. TURBINA-PENSTOCK

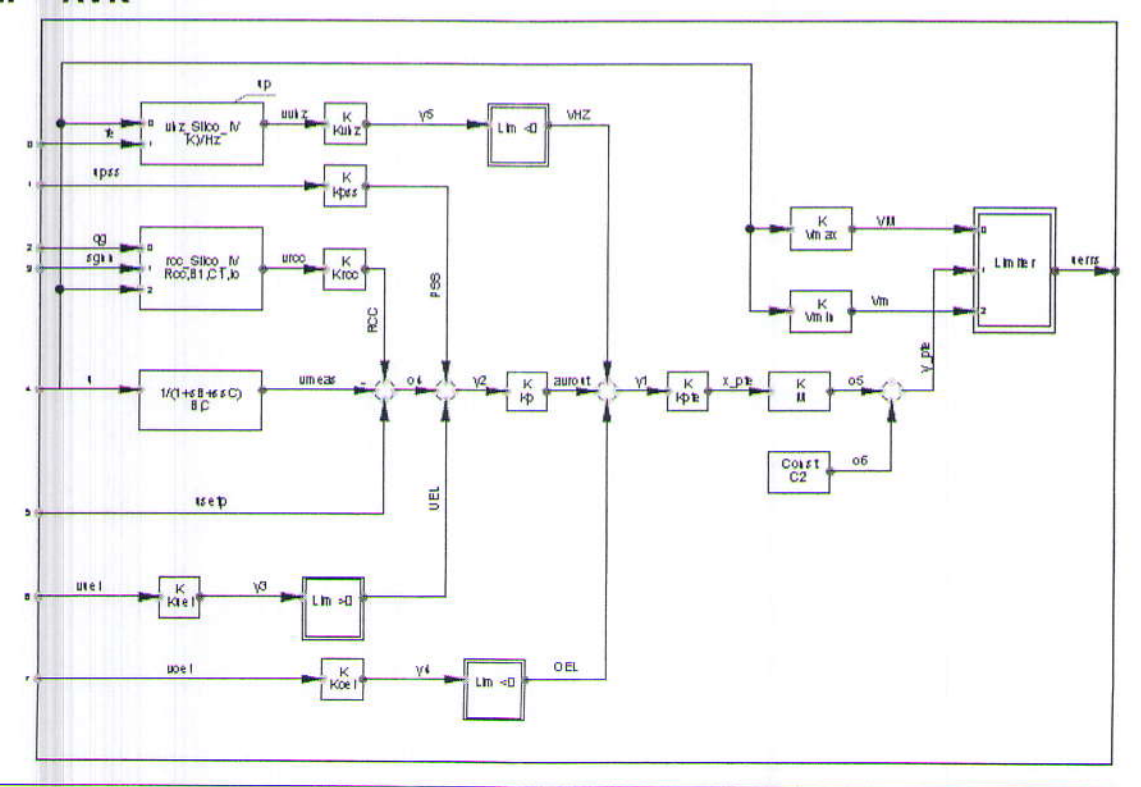


#### ix. Regulador de velocidad

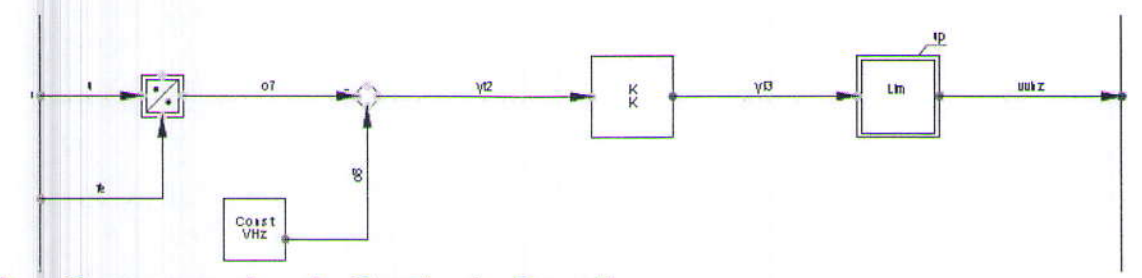


#### **Unidad 5 Guavio**

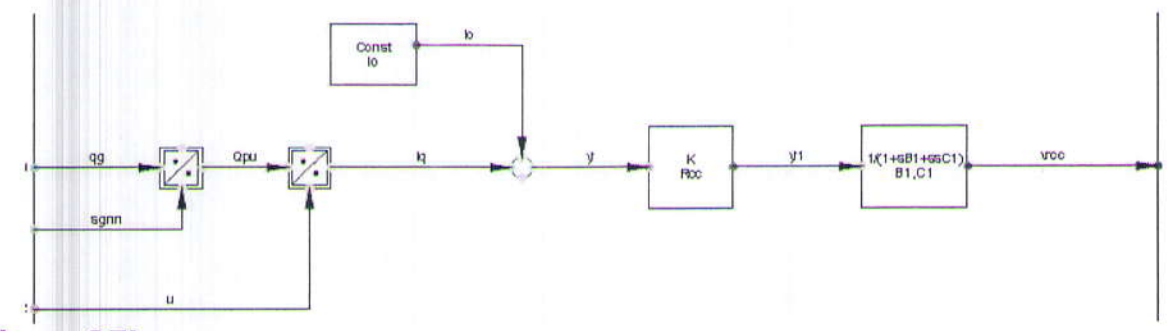
#### i. AVR



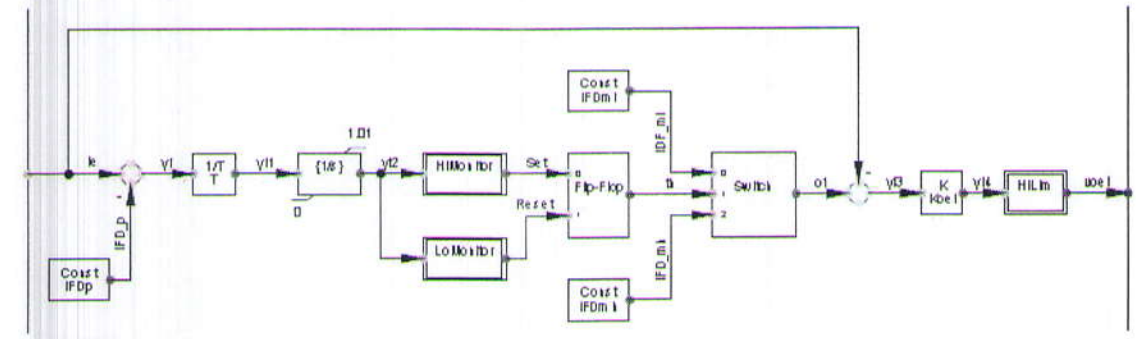
#### ii. Limitador V/Hz



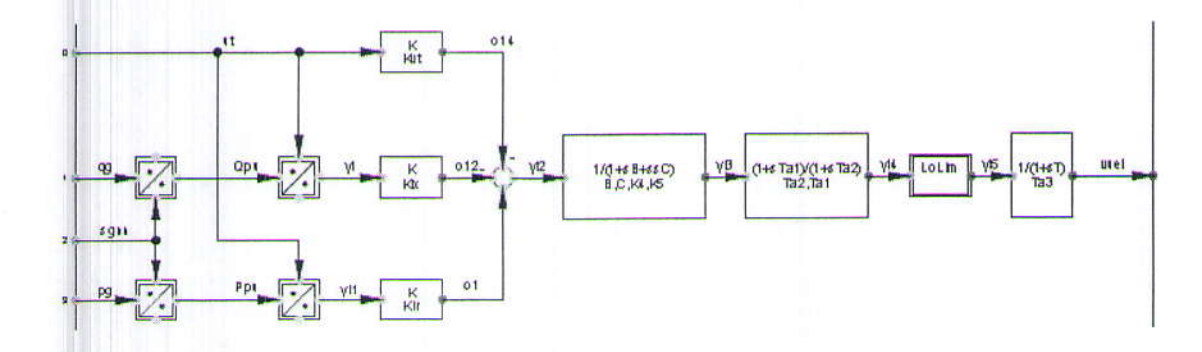
### iii. Compensador de Corriente Reactiva



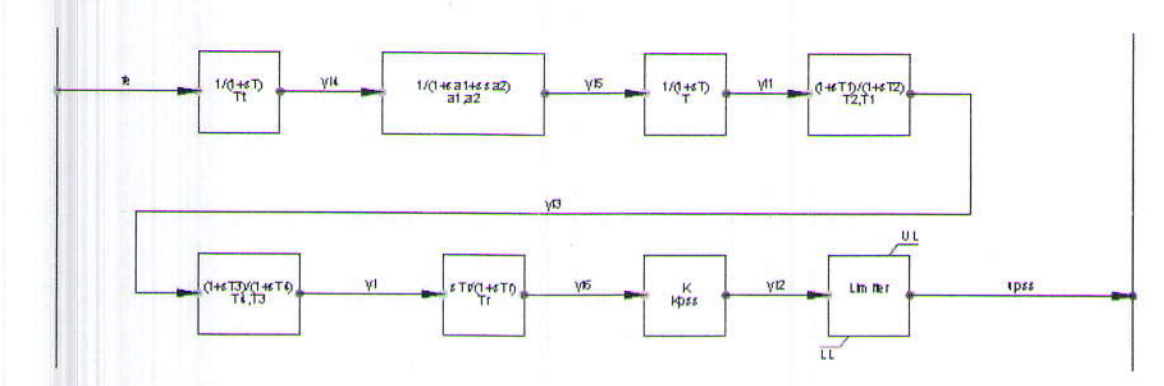
iv. OEL



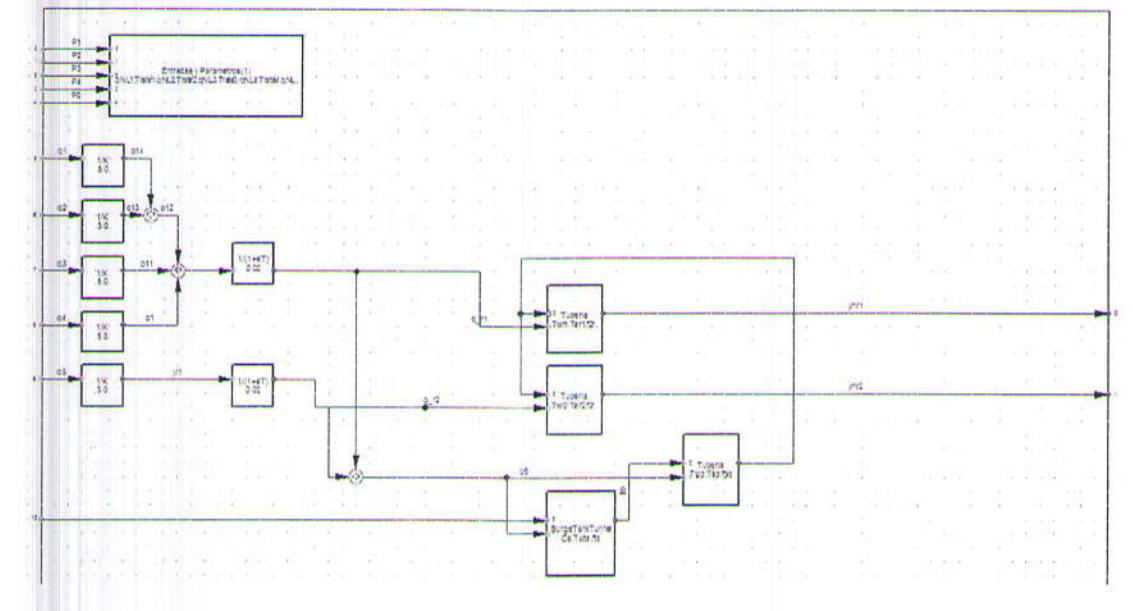
#### v. UEL



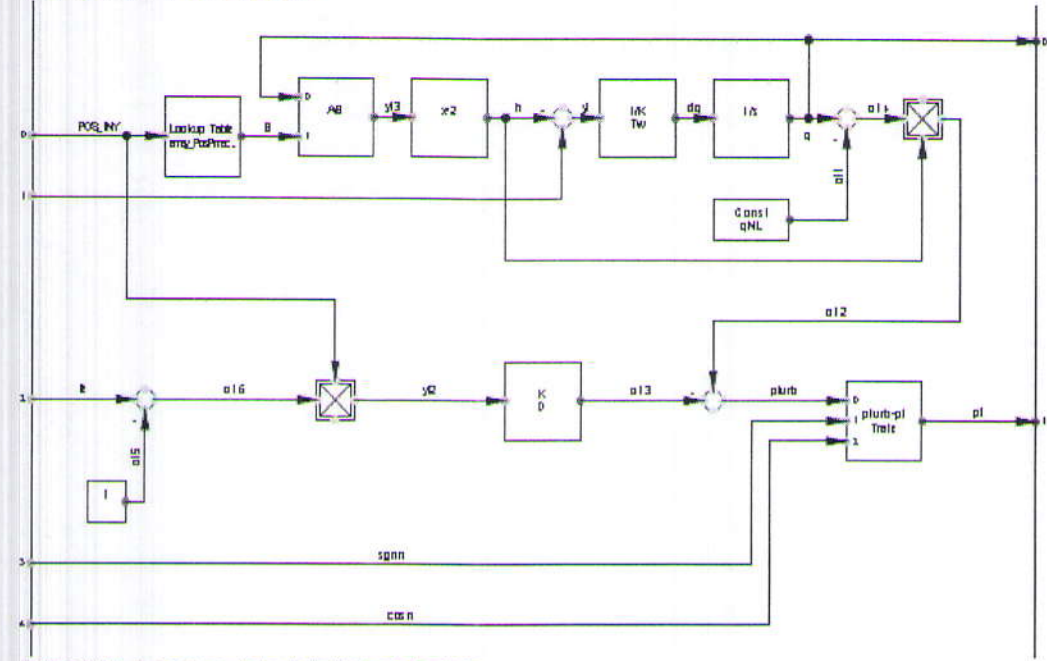
#### vi. PSS



#### vii. Sistema Hidráulico



#### viii. Turbina-Penstock



#### ix. REGULADOR DE VELOCIDAD

